

GÖRDESİ ÇEVRESİNDEKİ ZEOLİTLİ TÜFLERDE HOYLANDİT-KLİNOPTİLOLİT MİKTARLARININ X-IŞINLARI DİFRAKSİYONU İLE KANTİTATİF TAYİNİ

**Quantitative analysis of Heulandites-Clinoptilolites in Zeolite containing tuffs from
Gördes region by X-Ray Diffraction**

Fahri ESENLİ İTÜ Maden Fakültesi, Jeoloji Mühendisliği Bölümü Maslak, İSTANBUL

ÖZ: Gördes çevresinde, Miyosen istif içerisindeki tüfler, yayılım gösterdikleri alanların yaklaşık 2/3'ünde %80'in üzerinde zeolitlidirler. Kaya örneklerindeki hoylandit-klinoptilolit miktarları "dolomit iç standartlı x-işinleri kantitatif analiz yöntemi" ile tayin edilmiş ve diğer bir yöntem ile ayrıca kontrol edilmiştir. Sonuçlar, herbiri 4 tablet olarak hazırlanmış 18 standart örneği ve dolayısıyla 72 noktası temsil eden kalibrasyon doğrusundan elde edilmiştir. Hesaplamlarda hoylandit-klinoptilolitlerin $d = 3.98 \text{ \AA}$ ve dolomitin $d = 2.89 \text{ \AA}$ mesafe değerli ve en yüksek şiddetli yansımış çizgileri ile çalışılmıştır. Yöntemin toplam-ortalama hata payı %4.35 olup, %5'in altında zeolit içerikli örneklerde uygulanamaz bulunmuştur.

Toplam 95 adet tuf örneğinin bu yöntem ile hesaplanan zeolit içeriklerine göre Gördes Bölgesinde, Aynaalan Tepe çevresi, Hacıalı Dere ve Softalar Mevkilerindeki yüzeylemeler en yüksek hoylandit-klinoptilolitli zonlardır. Öte yandan tek tek pumis tanelerindeki zeolit içeriği tüm kaya zeolit içeriklerinden %40 daha düşük bulunmuştur.

ABSTRACT: The tuffs in Miocene sequence around Gördes show zeolite contents up to 80% in 2/3 of the outcrop area. Heulandite-clinoptilolite contents in rock samples have been calculated by the method of quantitative x-ray diffraction with dolomite internal standart. This technique has been verified by known additions method. Standard samples were prepared with 4 slides each. Heulandite-clinoptilolite contents were obtained from the calibration line which represents 18 standard samples and 72 points. Highest integrated peaks of heulandite-clinoptilolite and dolomite (d spacing of 3.97 \AA and d spacing of 2.89 \AA) have been used in the calculations. The error involved in this method is 4.35%. The method was found to be applicable to samples assaying only more than 5% zeolite.

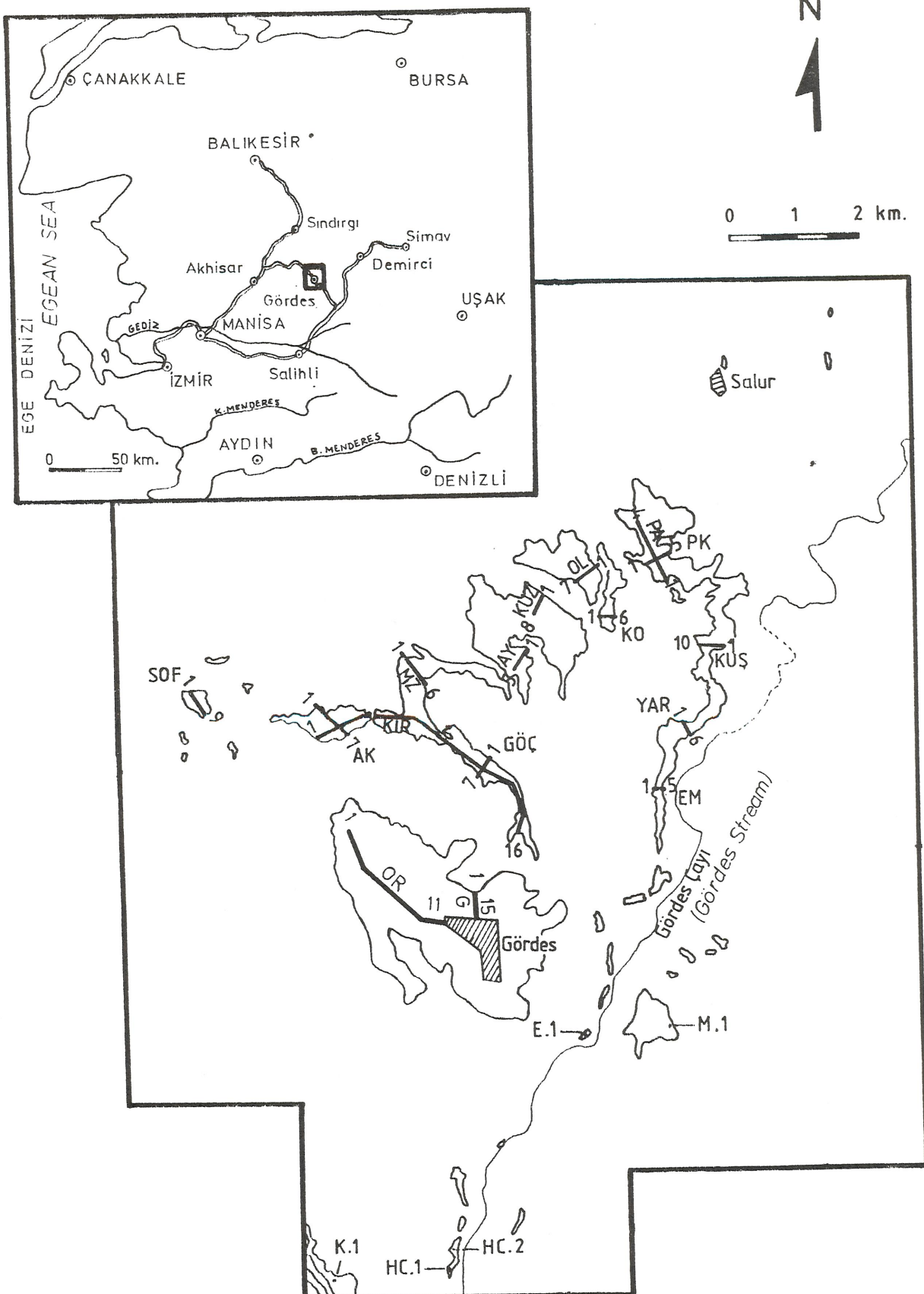
The tuffs in Gördes, Aynaalan, Hacıalidere and Softalar Regions exhibit the highest heulandite-clinoptilolite contents based on 95 tuff samples calculated by this method. The zeolite contents in pumice fragments were found to exhibit 40% less zeolite than the whole rock.

GİRİŞ

Bu çalışma ile Gördes çevresindeki zeolitli (hoylandit-klinoptilolit) tüflerde tüm kaya içerisindeki zeolit miktarlarının (ağırlıkça) kantitatif tayini ve buna bağlı olarak yüksek zeolit içerikli zonların belirlenmesi amaçlanmıştır.

Çalışmanın konusunu oluşturan tüfler Gördes(Manisa) ilçe merkezinin yakın çevresinde yer almaktadır (Şekil 1) ve litostratigrafik olarak iki seviye halinde konumludurlar. Bölgedeki Neojen istifin jeolojisi, mineralojisi ve zeolitleşmesi Esenli (1992) ve Esenli ve Özpeker (1993) tarafından incelenmiştir. Bunlara göre, Menderes Masifinin kristal kayaları ve İzmir-Ankara Zonuna ait kaya birimleri üzerine uyumsuz olarak gelen, 1000 m.'ye ulaşan kalınlıkta Miyosen çökel istifi altta bir fluviyatil

seri (alt kaba ve ince taneli birimler; bloktaşçı-çakıltaşçı-kumtaşçı ve bunlar üzerinde kumtaşçı-çakılık kumtaşçı-yerel çamurtaşçı ve şeyl) ile üstte bir volkanoklastik gölsel seriden ibarettir. Bu üst seri içerisinde ise altta ve en üstte (sırasıyla en fazla 80 ve 70 m. kalınlıklarda) iki tuf seviyesi ile aralarında kumlu, killi, karbonatlı, tüflü ve bunların karışık tiplerinden oluşan ardalanmalı bir birim yer almaktadır. İki tuf seviyesi de riyolit-riyodasit karakterli, alt tüfler için camsı-kristal-kısmen litik geçişli, kuzeyden güneye lapilli-kül-toz tuf dizilimlidir. Üst tüfler ise camsı-kristal, kül-toz tüflərdir. Fenokristaller kuvars, plajiolaz (albit-oligoklaz), sanidin ve düşük oranlardaki biotitlerdir. Tüflerin saha genelindeki otijen mineralerleri ise zeolitler (başlıca hoylandit-klinoptilolitler, yerel olarak analsim ve nadiren flipsit), silis mineralerleri (opal-CT ve



Şekil 1. Çalışma alanını ve alt ve üst tüflere ait kesit lokasyonları ile örnek no'larını gösterir harita.
Figure 1. Map of the investigated area including section locations and sample numbers of the lower and upper tuffs.

kuvars), kil mineralleri (smektitler ve 10 Å killeri; illitseladonit), K-feldspat ve karbonat mineralleri (kalsit, nadiren dolomit)'dır.

Volkanoklastik serinin zeolitik diyajenezi sonucu yaygın bir zeolitleşme meydana gelmiş ve özellikle hoylandit-klinoptilolit tip grup mineralleri, başlıca tüfler içerisinde ve onların cam parçaları, boşlukları, pumis lıfları ve tüm bağlayıcı malzemesinde gelişmişlerdir. Grup mineral tipleri alt tüflerde büyük oranda klinoptilolit, üst tüflerde ise tümüyle hoylandit-2 tipdedirler (Esenli, 1992; Esenli ve Özpeker, 1993).

Alt tüflerde 14 kesitte toplam 75 örnek, üst tüflerde ise 2 kesitte toplam 20 örnek üzerinde hoylandit-klinoptilolit miktar tayinleri yapılmıştır. Örnekleme haritası Şekil 1'de verilmiştir. X-işınları difraksiyon çalışmaları Philips difraktometre, CuK α radyasyon, Ni filtre kullanılarak, çekim hızı $2\phi=1^\circ/\text{dak.}$ ve duyarlılık=1000 şartlarında gerçekleştirılmıştır. Ayrıca, çeşitli kontroller ve özel çekimler için değişik çekim hızı ve duyarlılıklarda da çalışılmıştır.

YÖNTEM SEÇİMİ

Kil gibi çok ince malzemelerin, bulundukları bütün içerisindeki oranlarını, optik mikroskopta nokta sayımını kullanarak uygulanan klasik model analiz yöntemi ile belirlemek olanaksızdır. X-işınları difraksiyonunu kullanan kantitatif modal analiz ise hem ince taneli bileşenlere başarıyla uygulanabilir hemde oldukça hızlı bir yöntemdir (Cosgrove ve Sulaiman, 1973; Davis ve Walawender 1982; Pawloski, 1985; Maniar ve Cooke, 1987; Synder ve Bish, 1989). Bu yöntem sonucu meydana gelebilecek hata payı ise dikkatli bir örnek hazırlama ile çok düşük oranda gerçekleştirilebilir.

X-işınları kullanan modal analiz yöntemleri, karışım (kaya) içerisindeki bileşen (mineral) sayısına, bileşen ve karışım arasındaki kütte soğurma katsayılarının (mass absorption coefficients veya attenuation coefficients) benzerliğine ve çalışmacıların uygulama biçimlerine göre farklılıklar gösterir (Klug ve Alexander, 1954; Moore, 1969; Chung, 1974; Zevin, 1977; Brindley, 1980, Pawloski, 1985). Bu farklılıkların uygulamaya yansıyış biçimleri ise standart kullanılıp kullanılmaması, kullanılan standartın analiz edilen karışımın içerisindeinden veya harici bir bileşen olması ve kütte soğurma katsayılarının kullanılıp kullanılmaması şeklinde tariflenebilir. Seçilen yöntem hangisi olursa olsun, x-işınları ile kantitatif analizin esasını, bir karışımındaki bileşenlerin x-işınları yansımı şiddetlerinin onların

karışım içerisindeki oranlarına önemli derecede bağlı olması prensibi oluşturur.

Bu çalışmada, Gördes Neojen havzasındaki alt ve üst tüflere ait örneklerde hoylandit-klinoptilolit oranlarını (ağırlıkça) belirlemek için iç standartlı (internal standard) x-işınları kantitatif analiz yöntemi kullanılmış ve iç standart olarak dolomit minerali seçilmiştir. Uygulamada hoylandit-klinoptilolitlerin $d=3.97 \text{ \AA}$, dolomit ise $d=2.89 \text{ \AA}$ mesafe değerli ve en yüksek şiddetli yansımı çizgileri ile çalışılmış, ağırlıkça hoylandit-klinoptilolit miktarlarını, W (HOY.-KLİ.), veya % oranlarını saptamak için bu çizgi şiddetlerinin oranları, I ($d=3.97 \text{ \AA}$) HOY.KLİ. / I ($d=2.89 \text{ \AA}$) DOL., kullanılmıştır. Formülden hesaplama yapılacaksa kullanılabilecek denklem,

$$\frac{I (d = 3.97 \text{ \AA}) \text{ HOY.-KLİ}}{I (d = 2.89 \text{ \AA}) \text{ DOL.}} = K \frac{W (\text{HOY.-KLİ.})}{W (\text{DOL.})}$$

olup, burada K, kalibrasyon eğrisinden (veya doğrusundan) bulunacak sabit bir değerdir.

Kullanılan standart mineral dolomit, düşük soğurma katsayısına sahiptir ve hoylandit-klinoptilolitin önemli çizgileri ile örtme yapmaz. Hoylandit-klinoptilolitin en yüksek şiddeti, $2\phi= 22.40^\circ$ civarında (CuK α) gözlenen çizgisine yakın bir yansımaya sahip standart seçilmemesinin nedeni, örneklerimizin birçoğunda, zeolit mineralinin yanısıra opal-CT, kuvars, feldspat, kil minerali içerikleri nedeniyle, yaklaşık $2\phi= 18^\circ-30^\circ$ arasında çok fazla çizginin bulunması ve dolayısıyla bu aralıktaki bir standart çizginin kullanılmasının hata payını artıracığı düşüncesidir. Kantitatif analiz için örneklerimizde bulunan bir bileşenin değilde, harici bir mineralin (dolomit) standart seçilmesinin nedeni ise önemli sayıda örnekte hoylandit-klinoptilolitin tek faz olarak saptanmış olmasıdır. Böyle bazı örneklerde zeolit mineralinin dışında başka bir bileşenin bulunmaması, düşük miktarlardaki bazı diğer minerallerin x-işınları ile saptanabilme sınırlarının (dedection limit) altındaki oranlarda olmalarından kaynaklanabilir. Bu çalışmada çeşitli standart örneklerin denenmesi sonucu hoylandit-klinoptilolitin bu sınırı %4 olarak bulunmuştur.

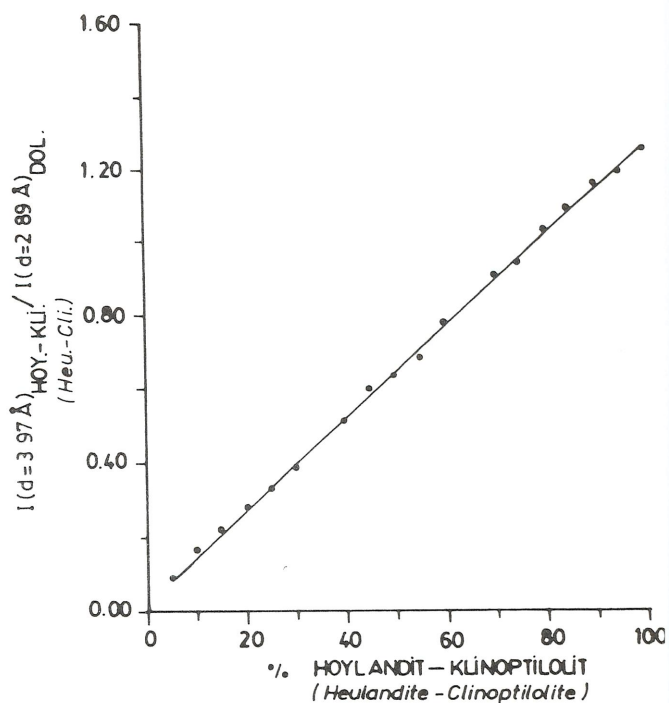
UYGULAMA

Örnek Hazırlama ve Standartların Oluşturulması

Deneysel standart örneklerin hazırlanmasında öncelikle saf hoylandit-klinoptilolit elde edilmiş ve bunun için

çalışma alanına ait bir karışım örnekte, ağır sıvı (bromoform+karbontetraklorür karışımı, $d= 2.10 \text{ gr/cm}^3$) içerisindeki yüzdürme-batırma işlemi uygulanmış ve daha sonra yüzen kısım kurutularak değişik akım şiddetleri ve açılarda manyetik ayırcıdan (Franz Isodynamic) geçirilmiştir. Saflaştırma sonrası; x-ışınları difraktogramında başka bir mineral tespit edilmediği, hoylandit-klinoptilolite ait çizgi şiddetlerinin yükselsmiş olduğu hatta daha önce çekimleri yapılmış (aynı şartlarda) tüm örneklerinkinden yüksek olduğu ve nihayet, amorf malzemenin meydana getirdiği $2\phi = 19^\circ - 35^\circ$ ler arasında horgüçlenmenin (hump) giderilmiş olduğu için örneğimiz tamamen saf olarak kabul edilmiştir.

Daha sonra, saf zeolit minerali ile karıştırılacak bir malzeme oluşturulmuştur. Bu malzeme, içerisinde hiç hoylandit-klinoptilolit bulunmayan doğal ve bozulmamış tüf örneklerimize benzer şekilde, özel hazırlanmış, bunun için %25 oranında kuvars+feldspat+biotit+opal-CT+kalsit+smektit ve %75 amorf (saf cam) içerikli bir karışım meydana getirilmiştir. Nihayet, bu özel malzeme, saf hoylandit-klinoptilolit ve saf dolomit (saflığı x-ışınları difraksiyonu ile kontrol edilmiş), ayrı ayrı 325 mesh elek altına geçecek tane boyutunda öğütülerek örnek hazırlamanın ilk aşaması tamamlanmıştır. Tane boyutunun bu küçüklikte seçilmesi mikrosoğurmayı ve sönmeye önleyecektir ve dolayısıyla bunlardan kaynaklanabilecek hattayı ihmali edilebilir düzeye indirecektir. Pawłoski (1985) içerisinde klinoptilolitin bulunduğu tüflerle çalışmış, en



Şekil 2. %5-100 arası hoylandit-klinoptilolit içerikli 18 standart örnek ile oluşturulan kalibrasyon doğrusu.

Figure 2. The calibration line represented by 18 standard samples containing 5-100% heulandite-clinoptilolite contents.

STANDART ÖRNEK (Standard sample)	STANDART KARIŞIMDAKİ ELEMANLARIN AĞIRLIKLARI (gr). (The weight of elements in standard)			STANDART İÇİNDEKİ HOY.-KLİ. ORANI (%) (Heu.-cli.content in standard)	I (d= 3.97 Å)HOY.-KLİ./ I(d= 2.89 Å) DOL. (I(d=3.97 Å)Heu.-cli./ I(d=2.89 Å) Dol.))				
	HOY.-KLİ. (Heu.-cli.)	ÖZEL MALZEME (Special material)	DOLOMİT (Dolomite)		1	2	3	4	ORT. (Aver)
1	0.05	0.95	0.2	05	0.080	0.084	0.092	0.092	0.087
2	0.10	0.90	0.2	10	0.155	0.160	0.164	0.173	0.163
3	0.15	0.85	0.2	15	0.200	0.209	0.224	0.226	0.215
4	0.20	0.80	0.2	20	0.261	0.266	0.290	0.290	0.277
5	0.25	0.75	0.2	25	0.321	0.325	0.336	0.338	0.330
6	0.30	0.70	0.2	30	0.370	0.375	0.392	0.395	0.383
7	0.40	0.60	0.2	40	0.485	0.494	0.528	0.530	0.509
8	0.45	0.55	0.2	45	0.586	0.593	0.593	0.596	0.592
9	0.50	0.50	0.2	50	0.621	0.621	0.636	0.638	0.629
10	0.55	0.45	0.2	55	0.660	0.672	0.690	0.696	0.680
11	0.60	0.40	0.2	60	0.753	0.756	0.785	0.794	0.772
12	0.70	0.30	0.2	70	0.889	0.894	0.910	0.916	0.902
13	0.75	0.25	0.2	75	0.929	0.935	0.936	0.949	0.937
14	0.80	0.20	0.2	80	1.006	1.023	1.035	1.041	1.026
15	0.85	0.15	0.2	85	1.080	1.087	1.087	1.099	1.088
16	0.90	0.10	0.2	90	1.144	1.149	1.164	1.178	1.159
17	0.95	0.05	0.2	95	1.167	1.179	1.205	1.207	1.190
18	1.00	-	0.2	100	1.226	1.254	1.277	1.280	1.259

Çizelge 1. Kalibrasyon doğrusu için kullanılan veriler.

Table 1. The data used for calibration line.

iyi verileri 5-60 mikron boyutlarında elde etmiştir. Yine, Parker (1978), Pumis örneklerindeki analism içeriğini incelediği çalışmasında da 400 mesh altı boyutları salık vermektedir. Bu çalışmada da, çeşitli örnekler üzerine yapılan denemeler sonucu en iyi x-ışınları verilerinin 44 mikron (325 mesh) altında elde edildiği anlaşılmıştır.

Son olarak, saf hoylandit-klinoptilolit+özel mazeme=1 gr. olacak şekilde ve zeolit minerali oranı %5-100 arasında değişen 18 adet karışım hazırlanmıştır (Çizelge 1). Bu karışımların herbirine 0.2 gr. dolomit iç standart olarak katılmış ve sonuç örnek karışım 8 saat süre ile tiptreşim ve döndürmek suretiyle karıştırılarak, $2\phi = 20^\circ - 33^\circ$ ler arasında x-ışınları çekimine tabi tutulmuşlardır. Hata payını belirlemek amacıyla herbir sonuç örnekten iki ayrı tabletde iki kez olmak üzere 4 çekim yapılmış ve sonuç olarak 72 adet I ($d= 3.97 \text{ \AA}$) HOY.-KLİ. / I ($d= 2.89 \text{ \AA}$) DOL. değeri elde edilmiştir. Herbir standart örneğe ait 4 adet şiddet oranının ortalaması ise kalibrasyon doğrusunun oluşturulmasında kullanılmıştır.

Kalibrasyon Doğrusunun Oluşturulması

Kalibrasyon doğrusu x ekseninde % HOY. KLİ. veya W(HOY.-KLİ.), Y ekseninde ise I ($d= 3.97 \text{ \AA}$) HOY.-KLİ. / I ($d= 2.89 \text{ \AA}$) DOL. olacak şekilde oluşturulmuştur. Doğru, 18 adet noktadan (Çizelge 1) en küçük kareler yöntemine göre seçilmiştir (Şekil 2). Nispi hatası %0.04'dür ve eğiminden bulunan K sabit değeri ise 1.2387'dir.

YÖNTEMİN KULLANILABİLİRLİĞİ

Bu çalışmada kullanılan metodun başarısı herseyden önce yeterli küçüklikte tane boyutunda çalışmaya ve gayet homojen karışımında örnek hazırlamaya bağlıdır. Herhangi bir örnek için kalibrasyon doğrusunda bulunacak zeolit miktarının hata payı, başlıca bu unsurlara ve yanısıra aletsel hatalar ile doğrunun kendi hatasına bağlıdır. Kalibrasyon doğrusunun hatası yukarıda verildiği gibi %0.04'dür. Mikro soğurma ve sönme (extinction) hataları 44 mikron altı gibi küçük tane boyutunda çalışıldığında ihmali edilebilir düzeydedir ve sıfır kabul edilmiştir. Örnek hazırlamadan ötürü meydana gelebilecek hataları enaza indirmek amacıyla herbir standart örnek iki ayrı karışım olarak hazırlanmış ve her karışım için iki tablet hazırlanarak 4 kez değerlendirilmiştir. Böylece, tek tek standartlar için standart sapmalar hesaplanmış ve buradanda standart sapmaların nispi hataları bulunmuştur (Çizelge 2). 18 standart için bulunan nispi standart sapmaların ortalaması alındığında, örnek hazırlamadan dolayı meydana gelen hata %2.76'dır. Bu değer

literatürdeki benzerlerinden çok daha düşük olup, örnek hazırlamanın homojenliği ile eleman seçimleri ve karışım paylarının doğruluğunu gösterir. Bu hata payı, örneklerdeki hoylandit-klinoptilolit oranı azaldıkça büyümektedir ancak, sadece %5 hoylandit-klinoptilolitli örneklerde bile bulunabilecek örnek hazırlama hatası %6.9'dur. %25-40 zeolit içerikli örneklerde bu oran %2.5-4.5 ve %45-100 zeolit içerikli örneklerde ise %0.7-2.7 aralıklarındadır.

Yöntemin diğer bir hata payı aletsel parametrelerle

STANDART ÖRNEK (Standard sample)	ORTALAMA I ($d= 3.97 \text{ \AA}$) HOY.- KLİ. / I ($d= 2.89 \text{ \AA}$) DOL. (Average I ($d= 3.97 \text{ \AA}$)Heu.- CLİ. / I ($d= 2.89 \text{ \AA}$) Dol.)	STANDART SAPMA (Standard deviation)	NİSPİ STANDART SAPMA (Relative standard deviation)
1	0.087	0.0060	0.0690
2	0.163	0.0076	0.0466
3	0.215	0.0124	0.0577
4	0.277	0.0154	0.0596
5	0.330	0.0083	0.0252
6	0.383	0.0124	0.0324
7	0.509	0.0231	0.0454
8	0.592	0.0042	0.0071
9	0.629	0.0093	0.0148
10	0.680	0.0165	0.0245
11	0.772	0.0206	0.0267
12	0.902	0.0100	0.0111
13	0.931	0.0084	0.0090
14	1.026	0.0154	0.0150
15	1.088	0.0079	0.0073
16	1.159	0.0154	0.0155
17	1.190	0.0198	0.0166
18	1.259	0.0250	0.0199

Çizelge 2 . Standartlar için hesaplanan örnek hazırlama hataları.

Table 2 . The sample preparation errors for standards.

ÖRNEK (Sample)	HOYI ANDLI - KLINOPTILOLIT İÇERİĞİ (%) (Heulandite-Clinoptilolite content - %)	
	DOLOMİT İÇİ STANDART İLE YÜNTÜM İLE (By the method of internal standard with dolomite)	BİLENİN İLAVALI YÜNTÜM İLE (By the method of known additions)
KUŞ-2	14	15
İM-1	77	73
KO-6	95	47
KUZ-5	98	99
AY-5	100	100
MZ-3	97	98
AK-2	80	80
GÜK-4	78	71
SDH-5	95	92
G-6	78	73
G-12	88	91

Çizelge 3 . Çalışma alanına ait 11 tif örneğinde, dolomit iç standartlı ve bilinen ilave yöntemler ile hesaplanmış hoylandit-klinoptilolit içerikleri.

Table 3 . The heulandite-clinoptilolite contents calculated by the method of internal standard with dolomite and the method of known additions in 11 tuff samples.

bağlı olarak ortaya çıkan sayma hatasıdır (counting statistics). Yukarıda sonuçları verilen hazırlama hataları içersinde, bir miktar, ama her aman bu sayma hatasında bulunmaktadır. Öte yandan, sadece sayma hatasının tespiti amacıyla ayrı bir çalışma yapılmış ve 5 adet örnekte çekim yapılarak, aynı örneğin aynı tabletdeki tozunda hiçbir değişiklik yapılmadan, üstüste 8 x-işinleri çekimi sonucu, tüm örnekler genelinde maksimum %1.55 sapma hatası bulunmuştur.

Kalibrasyon doğrusundan bulunacak herhangi bir hoylandit-klinoptilolit miktarı için buraya kadar verilen hatalara-eğer formülden hesaplama ile miktar tayini yapılacaksa-K sabitinin doğruluğuda etki edecektir. Bu çalışmada doğrudan veya formülden bulunacak hoylandit-klinoptilolit miktarları arasında % (-0.11)-(+3.15) mutlak (absolute) hata bulunmuştur. Bu ise zeolit içeriğindeki artışa karşılık, azalan bir nispi hataya tekabül etmektedir. Bu nispi hata; hoylandit-klinoptilolit içeriği %10'un altındaki örneklerde %30'un üzerinde, %15-20 içerikli örneklerde %10-15 arasında, %25-40 içerikli örneklerde %2.5-6.5 arasında ve %45-100 arasındaki örneklerde ise %0.2-4 arasındaadır.

Gördes alt ve üst tuf birimlerine ait örneklerin bazlarında, yukarıda tariflenen iç standartlı yöntemin haricinde-bir karşılaştırma yapmak amacıyla-diger bir yöntem daha kullanılarak hoylandit-klinoptilolit miktar tayini yapılmıştır. Burada kullanılan yöntem aslında iç standartlı aynı zamanda analiz edilen bileşenin kendisidir (Brindley, 1980). Genellikle tek bileşenli sistemlere uygulanan bu yöntemde:

$$W(\text{St.}) = \frac{W(\text{HOY-KLİ.})}{1=W(\text{St.}) - (I_1/I_2)}$$

formülü kullanılır. Burada,

$W(\text{HOY-KLİ.})$: Test edilen bileşenin (bu çalışmada hoylandit-klinoptilolit) karışım içersindeki ağırlık fraksiyonu.

$W(\text{St.})$: 1 gr. karışımı ilave edilen standartın (bu çalışmada saf hoylandit-klinoptilolit) ağırlık fraksiyonudur ve 0.2 gr. olarak seçilmiştir.

I_1 : Bileşenin seçilmiş bir çizgisinin (bu çalışmada hoylandit-klinoptilolitin $d=3.97 \text{ \AA}$ değerli yansıtma çizgisi) doğal çekimdeki yüksekliği (mm).

I_2 : Aynı çizginin standart ilavesinden sonraki çekiminden bulunan yüksekliği (mm).

11 adet tuf örneğinde, bu yöntem ile belirlenen hoylandit-klinoptilolit % oranları dolomit iç standartlı yöntem ile belirlenen değerlere oldukça yakındır (Çizelge 3).

SONUÇLAR

Gördes çevresine ait tuf örneklerinin hoylandit-klinoptilolit içeriklerinin tespiti için kullanılan iç standartlı x-işinleri kantitatif analiz yöntemi düşük hata paylı ve oldukça hızlı bir metoddur. Kalibrasyon doğrusundan bulunacak %5-100 arasındaki bir hoylandit-klinoptilolit içeriği, ortalama %2.76 örnek hazırlama hatası, maksimum %1.55 aletsel hata ve %0.04 kalibrasyon doğrusunun hatası olmak üzere toplam %4.35 nispi hataya sahip olacaktır. Bu metodu yaklaşık %5'in altında hoylandit-klinoptilolit içeriğine sahip örneklerde uygulamak olanaksızdır.

Çalışma alanından 95 adet tuf örneğinin hoylandit-klinoptilolit içeriklerinin tayini için dolomit iç standartlı

ÖRNEK (Sample)	% HOY-KLİ. Heu.-Cli.	ÖRNEK (Sample)	% HOY.-KLİ. Heu.-Cli.	ÖRNEK (Sample)	% HOY.-KLİ. Heu.-Cli.
ALT	TÜFLER	(Lower Tuffs)			
DL-1	27	KO-1	95	KIR-1	75
DL-2	30	KO-2	89	KIR-2	78
DL-5	-	KO-5	85	KIR-3	68
DL-6	29	KO-6	55	KIR-4	79
DL-7	-	ORTALAMA	81	KIR-5	53
ORTALAMA	17	KUZ-1	29	KIR-6	76
KUŞ-2	14	KUZ-2	72	KIR-7	68
KUŞ-4	12	KUZ-3	80	KIR-8	58
KUŞ-6	-	KUZ-4	73	KIR-10	64
KUŞ-9	10	KUZ-5	98	KIR-12	90
KUŞ-10	-	KUZ-6	74	KIR-13	90
ORTALAMA	7	KUZ-7	85	KIR-14	80
PA-2	26	KUZ-8	95	ORTALAMA	71
PA-3	13	ORTALAMA	76	GÜC-2	81
PA-4	-	AY-2	89	GÜC-4	78
ORTALAMA	13	AY-3	100	GÜC-5	90
PK-1	17	AY-5	100	GÜC-6	93
PK-3	38	AY-6	92	GÜC-7	85
PK-5	40	ORTALAMA	95	ORTALAMA	85
ORTALAMA	32	MZ-1	74	SOF-1	100
YAR-1	-	MZ-2	77	SOF-2	79
YAR-2	-	MZ-3	97	SOF-3	95
YAR-3	15	MZ-4	77	SOF-5	92
YAR-4	14	MZ-5	78	SOF-6	78
YAR-5	44	MZ-6	80	SOF-8	56
YAR-6	60	ORTALAMA	81	ORTALAMA	90
ORTALAMA	22	AK-2	80	HC-1	97
EM-1	77	AK-4	78		
EM-4	86	AK-5	59		
EM-5	91	AK-7	69		
ORTALAMA	85	ORTALAMA	72		
ÜST	TÜFLER	(Upper Tuffs)			
G-3	98	G-11	60	OR-4	-
G-4	65	G-12	88	OR-6	-
G-5	-	G-13	67	OR-9	79
G-6	78	G-14	80	OR-10	40
G-7	90	G-15	90	OR-11	85
G-8	90	ORTALAMA	75	ORTALAMA	52
G-9	81	OR-1	90		
G-10	65	OR-3	69		

Çizelge 4. Gördes çevresindeki tüflere ait örneklerde iç standartlı x-işinleri difraksiyon ile saptanan hoylandit-klinoptilolit içerikleri.

Table 4. The heulandite-clinoptilolite contents calculated by the method of x-ray diffraction with internal standard in tuff samples from Gördes area.

kantitatif analiz yöntemi ve standart örnekler ile oluşturululan kalibrasyon doğrusu kullanılmıştır. Sonuçlar Çizelge 4'de verilmiştir.

Alt tüflerin Oğulduruk ve Kuşluk köyleri çevresine ait örnekleri düşük miktarda hoylandit-klinoptilolit içerirler. Bu yöreye ait 16 örneğin değer aralığı %0-40 arasında olup, ortalaması %17'dir (OL, KUŞ, PA ve PK kodlu örnekler). Bu yöre tüfleri zeolit minerallerinden ziyade, bozulmamış volkanik cam ve kil minerallerince zengindir. Aslında, birimin bu özellikteki zonu KUZ-1 ve YAR-1-4 arası kodlu örnekleride içerir. Bu örneklerde dahil ettiğimizde, alt tüflerin, çalışma alanının kuzeybatısına tekabül eden bu zonu toplam 21 örnek için ortalaması %18 hoylandit-klinoptilolit içeriğine sahiptir. Çok düşük zeolit içerikli bu zon, aynı zamanda çeşitli çalışmalar tarafından modellenmiş diyajenetik mineral fasiyes alanlarının bozulmamış cam fasiyesine karşılık gelir (Sheppard ve Gude, 1968; 1973; Surdam, 1981; Hay, 1981) ve Gördes kuzeyinde bir "volkanik cam+smektit" fasiyesi olarak Esenli (1992) tarafından ayrılmıştır. Güney kesimde, esasen zeolitli bir ana fasiyeye ait tüm diğer kesit örneklerinin ortalaması ise %80 ve değişim aralığı %44-100'dür. En yüksek hoylandit-klinoptilolitli yöreler Aynaalan Tepe civarı (AY kodlu örnekler, ortalaması %95), Hacalı Dere mevki (HC kodlu örnek, %97) ve Softalar mevkidir (SOF kodlu örnekler, ortalaması %90).

Üst tüflere ait örnekler ortalaması %66 hoylandit-klinoptilolit içeriğine ve örnek bazında %0-98, kesit bazında da %52-73 arasında değişime sahiptirler. Alt tüflerdeki zeolitli altere örneklerde göre, daha düşük ortalamanın nedeni, bu tür birimi içersinde önemli oranda K-feldspatdan oluşmuş ve hiç zeolit içermeyen örneklerin bulunmasıdır. Eğer, bu tip 3 örnek (G-5, OR-4, OR-6) hariç tutulursa üst tüflerin ortalaması hoylandit-klinoptilolit içeriği %77 olacaktır.

ÖRNEK (Sample)	TÜM KAYADA HOY.-KLİ. (%) (% Heu.-Cli. in whole rock)	PUMİS TANESİNDE HOY.-KLİ. (%) (% Heu.-Cli. in pumice fragment)
OL-2	30	16
KUŞ-2	14	05
KO-1	95	69
KUZ-6	74	55
AK-4	78	50

Çizelge 5. Çalışma alanından 5 adet örnekte tüm kaya ve salt pumis tanelerindeki hoylandit-klinoptilolit içeriklerinin karşılaştırılması

Table 5. The comparison of the heulandite-clinoptilolite contents in whole rock and pumice fragments in 5 samples from investigated area.

Nihayet tüm inceleme alanı gözönüne alındığında, alt ve üst tüflere ait 95 adet örneğin ortalama hoylandit-klinoptilolit içeriği %62'dir. Ancak tüflerin alansal dağılımları dikkate alındığında, yaklaşık bir ifade ile Gördes Çevresindeki tüflerin 2/3'ü %80'nin üzerinde hoylandit-klinoptilolit ortalama içeriğine sahiptir.

Tek tek pumis tanelerindeki hoylandit-klinoptilolit miktarları tüm kaya miktarlarından düşük bulunmuştur. 5 adet örnekte pumis taneleri ayırtlanarak kantitatif analizleri yapılmış ve ait oldukları tüm kaya hoylandit-klinoptilolit içerikleri ile birlikte Çizelge 5'de verilmiştir.

Tüm kaya analizlerine göre, pumis tanelerindeki hoylandit-klinoptilolit içeriği nispi olarak ortalama %40 düşük bulunmuştur. Bunun nedeni, muhtemelen pumis tanelerinin dar hacimlerinden dolayıdır. Diğer bir ifade ile pumis liflerinde gelişen zeolitleşme, taze cam ve kil kinlarından sonra kendisine dar bir hacim bulabilirken kayanın geri kalan boşlukları ve cam parçalarındaki zeolitleşme daha geniş hacimlerde ve diğer otijenlere göre daha yüksek oranlarda gelişebilmiştir. Bu varsayımdır, daha bol ve iri pumis tüflerin daha düşük zeolit içeriğine sahip olacağı sonucunu getirirki, gözlemlenen birçok örnek için bu sonuç geçerli olmuştur.

DEĞİNİLEN BELGELER

Brindley, G. W., 1980, Quantitative X-Ray Mineral Analysis of Clays. Mineral. Soc., Monograph No. 5, Edited by G. W. Brindley and G. Brown. Chapter 7, p. 411-439.

Chung, F. H., 1974, Quantitative Interpretation of X-Ray Diffraction Patterns. 1. Matrix-Flushing Method of Quantitative Multicomponent Analysis. J. Appl. Cryst. 7, p. 519-525.

Cosgrove, M. E., Sulaiman, A. M., 1973, Rapid Method for the Determination of Quartz in Sedimentary Rocks by X-Ray Diffraction. Clay Minerals 10, p. 51-55.

Davis, B. L., Walawender, M. J., 1982, Quantitative Mineralogical Analysis of Granitoid Rocks. A Comparison of X-Ray and Optical Techniques. Amer. Mineral. 67, p. 1135-1143.

Esenli, F., 1992, Gördes Çevresindeki Neojen Serilerin ve Zeolitleşmenin Jeolojik, Mineralojik ve Jeokimyasal İncelenmesi. Doktora Tezi, İ. T. Ü. Fen Bilimleri Enstitüsü, 210 s. yayınlanmamış.

Esenli, F., Özpeker, I., 1993, Gördes Çevresindeki Neojen Havzanın Zeolitik Diyajenezi ve Hoylandit-Klinoptilolitlerin Mineralojisi. 46. T. J. Kurultayı Bildiri Özleri Kitabı, s. 63, 15-19 Şubat, Ankara.

- Hay, R. L., 1981, Geology of Zeolites in Sedimentary Rocks. *Reviews in Mineralogy*, V. 4, p. 53-64.
- Klug, H. P., Alexander, L. E., 1954, X-Ray Diffraction Procedures for Polycrystalline and Amorphous Materials. John Wiley and Sons, New York.
- Maniar, P. D., Cooke, G. A., 1987, Modal Analysis of Granitoids by Quantitative X-Ray Diffraction. *Amer. Mineral.*, 72, p. 433-437.
- Moore, A. C., 1969, A Method for Determining Mineral Compositions by Measurement of the Mass Absorption Coefficient. *The Amer. Mineralogist*. V. 54, p. 1180-1189.
- Parker, R. J., 1978, Quantitative Determination of Analcime in Pumice Samples by X-Ray Diffraction. *Mineral Mag.* 42, p. 103-106.
- Pawloski, G. A., 1985, Quantitative Determination of Mineral Content of Geological Samples by X-Ray Diffraction. *Amer. Mineral.*, 70, p. 663-667.
- Sheppard, R. A., Gude, A. J., 1968, Distribution and Genesis of Authigenic Silicate Minerals in Tuffs of Pleistocene Lake Tecopa Inyo County, California. U. S. Geol. Surv. Prof. Pap. 597, 38 p.
- Sheppard, R. A., Gude, A. J., 1973, Zeolites and Associated Authigenic Silicate Minerals in Tuffaceous Rock of the Big Sandy Formation, Mohave County, Arizona. U. S. Geol. Surv. Prof. Pap. 83, 36 p.
- Snyder, R. L., Bish, D. L., 1989, Quantitative Phase Analysis by X-Ray Powder Diffraction. *Reviews in Mineralogy*, V. 20, p. 101-143.
- Surdam, R. C., 1981, Zeolites in Closed Hydrologic Systems. *Reviews in Mineralogy*, V. 4, p. 65-91.
- Zevin, L. S., 1977, A Method of Quantitative Phase Analysis Without Standards. *Journal of Appl. Cryst.* 10, p. 147-150.